



GOBIERNO
DE ESPAÑA

MINISTERIO
DE AGRICULTURA Y PESCA,
ALIMENTACIÓN Y MEDIO AMBIENTE



CONFEDERACIÓN
HIDROGRÁFICA
DEL EBRO

2017

ESTABLECIMIENTO DE UNA METODOLOGÍA PARA EL SEGUIMIENTO DEL POTENCIAL ECOLÓGICO VS. ESTADO TRÓFICO DE LOS EMBALSES DE LA CUENCA DEL EBRO

INFORME FINAL DEL EMBALSE DE MANSILLA



**ÁREA DE CALIDAD DE AGUAS
CONFEDERACIÓN HIDROGRÁFICA DEL EBRO**





ESTABLECIMIENTO DE UNA METODOLOGÍA PARA EL SEGUIMIENTO DEL POTENCIAL ECOLÓGICO VS. ESTADO TRÓFICO DE LOS EMBALSES DE LA CUENCA DEL EBRO

PROMOTOR:

CONFEDERACIÓN HIDROGRÁFICA DEL EBRO



DIRECCIÓN DEL PROYECTO:

Vicente Sancho Tello Valls y María José Rodríguez Pérez

EMPRESA CONSULTORA:

Instituto Cavanilles de Biodiversidad y Biología Evolutiva de la Universidad de Valencia Estudi General

EQUIPO DE TRABAJO:

Área de Limnología, dirigida por Dr. Eduardo Vicente Pedrós, Catedrático de Ecología. Director del Estudio.

PRESUPUESTO DE LA ADJUDICACIÓN:

89.000,00 €

CONTENIDO:

INFORME INDIVIDUAL DEL EMBALSE DE MANSILLA

AÑO DE EJECUCIÓN:

2017

FECHA ENTREGA:

DICIEMBRE 2017



REFERENCIA IMÁGENES PORTADA:

Vista de un brazo del embalse de Mansilla.

CITA DEL DOCUMENTO: Confederación Hidrográfica del Ebro (2017). Establecimiento de una metodología para el seguimiento del potencial ecológico vs. estado trófico de los embalses de la cuenca del Ebro. 212 págs. más anejos. Disponible en PDF en la web: <http://www.chebro.es>

El presente informe pertenece al Dominio Público en cuanto a los Derechos Patrimoniales recogidos por el Convenio de Berna. Sin embargo, se reconocen los Derechos de los Autores y de la Confederación Hidrográfica del Ebro a preservar la integridad del mismo, las alteraciones o la realización de derivados sin la preceptiva autorización administrativa con fines comerciales, o la cita de la fuente original en cuanto a la infracción por plagio o colusión. A los efectos prevenidos, las autorizaciones para uso no científico del contenido deberán solicitarse a la Confederación Hidrográfica del Ebro.



ÍNDICE

	Página
1. INTRODUCCIÓN.....	7
2. DESCRIPCIÓN GENERAL DEL EMBALSE Y DE LA CUENCA VERTIENTE.....	7
2.1. <i>Ámbito geológico y geográfico</i>	<i>7</i>
2.2. <i>Características morfométricas e hidrológicas</i>	<i>8</i>
2.3. <i>Usos del agua</i>	<i>9</i>
2.4. <i>Registro de zonas protegidas.....</i>	<i>9</i>
3. TRABAJOS REALIZADOS	10
4. DIAGNÓSTICO DE LA SITUACIÓN ACTUAL.....	11
4.1. <i>Características fisicoquímicas de las aguas</i>	<i>11</i>
4.2. <i>Hidroquímica del embalse.....</i>	<i>14</i>
4.3. <i>Fitoplancton y concentración de clorofila</i>	<i>15</i>
4.4. <i>Zooplancton.....</i>	<i>18</i>
5. DIAGNÓSTICO DEL GRADO TRÓFICO	20
6. DIAGNÓSTICO DEL POTENCIAL ECOLÓGICO	21
ANEXO I. REPORTAJE FOTOGRÁFICO	

ÍNDICE DE FIGURAS Y TABLAS

ÍNDICE DE FIGURAS CORRESPONDIENTES A GRÁFICOS Y FOTOS

Figura 1. Volumen embalsado y salida durante el año hidrológico 2016-2017.	9
Figura 2. Localización de la estación de muestreo en el embalse.	10
Figura 3. Perfil vertical de la temperatura y pH	11
Figura 4. Perfil vertical de la extinción luminosa y oxígeno disuelto	12
Figura 5. Perfil vertical de la conductividad y de la materia orgánica disuelta cromofórica	13
Figura 6. Perfil vertical de la clorofila <i>a</i>	16
Figura 7. Vista de la presa desde aguas abajo del embalse.	27
Figura 8. Vista del punto de acceso al embalse	27

ÍNDICE DE TABLAS

Tabla 1. Características morfométricas del embalse de Mansilla	8
Tabla 1. Concentración de los diferentes nutrientes analizados en las muestras integradas.	14
Tabla 3. Estructura y composición de la comunidad de fitoplancton.	15
Tabla 4. Composición detallada de la comunidad de fitoplancton.	16
Tabla 5. Estructura y composición de la comunidad de zooplancton.	18
Tabla 6. Composición detallada de la comunidad de zooplancton.	19
Tabla 7. Parámetros indicadores y rangos de estado trófico.	20
Tabla 8. Diagnóstico del estado trófico del embalse de Mansilla	20
Tabla 9. Parámetros y rangos para la determinación del potencial ecológico experimental.	21
Tabla 10. Combinación de los indicadores.	22
Tabla 11. Diagnóstico del potencial ecológico del embalse de Mansilla.	22
Tabla 12. Valores de referencia propios del tipo (VR_t) y límites de cambio de clase de potencial ecológico de los indicadores de los elementos de calidad de embalses (RD 817/2015)	23
Tabla 13. Parámetros, rangos del RCE y valores para la determinación del potencial ecológico normativo.	24
Tabla 14. Combinación de los indicadores.	24
Tabla 15. Diagnóstico del potencial ecológico (PE_{norm}) del embalse de Mansilla	25

1. INTRODUCCIÓN

El presente documento recoge los resultados de los trabajos realizados en el embalse de Mansilla durante los muestreos de 2017 y la interpretación de los mismos, a efectos de proporcionar una referencia que facilite la consulta y explotación de la información obtenida.

En general, se recurre a presentaciones gráficas y sintéticas de la información, acompañadas de un texto conciso, lo que permitirá consulta una ágil y rápida del documento.

En el **Anexo I** se presenta un reportaje fotográfico que refleja el estado del embalse durante el periodo estudiado (verano 2017, correspondiente al año hidrológico 2016-2017).

En apartados sucesivos se comentan los siguientes aspectos:

- Resultados del estudio en el embalse (FASE DE CARACTERIZACIÓN) de todos los aspectos tratados (hidrológicos, fisicoquímicos y biológicos), que culminan en el diagnóstico del grado trófico.
- Clasificación del “Potencial Ecológico experimental”, tras la aplicación de los indicadores biológicos, propuestos en la MEMORIA DEL ESTUDIO, y fisicoquímicos, propuestos en la Directiva Marco del Agua.
- Clasificación del “Potencial Ecológico normativo”, tras la aplicación de los indicadores biológicos y fisicoquímicos propuestos en la Directiva Marco del Agua.

2. DESCRIPCIÓN GENERAL DEL EMBALSE Y DE LA CUENCA VERTIENTE

2.1. **Ámbito geológico y geográfico**

La cuenca vertiente al embalse de Mansilla está situada en la región de las Sierras de la Demanda y Urbión, pertenecientes al dominio geológico de las Cadenas Ibéricas Occidentales y situadas al sur de la gran fosa o cubeta tectónica del Terciario del Valle del Ebro. Geológicamente, se encuentra situado sobre materiales pertenecientes al Triásico, Jurásico y Paleozoico. Entre los materiales del Triásico existe alternancia de calizas arcillosas y margas; puntualmente calizas arrecifales, y grupos renales (formado por calizas; dolomías y calizas arcillosas). Los materiales del Jurásico son conglomerados; areniscas; calizas y yeso. Los del Paleozoico son esquistos; pizarras; conglomerados y cuarcitas.

El embalse de Mansilla se sitúa dentro del término municipal de Mansilla de la Sierra, en la provincia de La Rioja. Regula las aguas del río Najerilla.

2.2. Características morfométricas e hidrológicas

Se trata de un embalse de pequeñas dimensiones de geometría alargada y sinuosa.

La cuenca vertiente al embalse de Mansilla tiene una superficie total de 23250 ha.

El embalse tiene una capacidad total de 67,70 hm³. Caracterizado por una profundidad media de 27,6 m, mientras que la profundidad máxima alcanza los 70 m.

En la tabla 1 se presentan las características morfométricas del embalse.

Tabla 1. Características morfométricas del embalse de Mansilla.

Superficie de la cuenca	290 km ²
Capacidad total N.M.N.	67,70 hm ³
Capacidad útil	57,20 hm ³
Aportación media anual	169 hm ³
Superficie inundada	246 ha.
Cota máximo embalse normal	930 msnm

Tipo de clasificación: 7. Monomítico, calcáreo, de zona húmeda, perteneciente a ríos de cabecera y tramo alto, con temperatura media anual menor de 15 °C.

Se trata de un embalse monomítico, ubicado en un zona fría de geología calcárea. En el momento del muestreo, no se detectó la presencia de una termoclina. El límite inferior de la capa fótica se encuentra a 11 metros de profundidad determinado mediante medidor fotoeléctrico, muy similar a la estimación mediante el Disco de Secchi de 9,8 m.

El tiempo de residencia hidráulica media en el embalse de Mansilla para el año hidrológico 2016-2017 fue de 1,02 meses.

En la figura 1 se presentan los valores diarios del volumen embalsado y salida media correspondientes al año hidrológico 2016-2017.

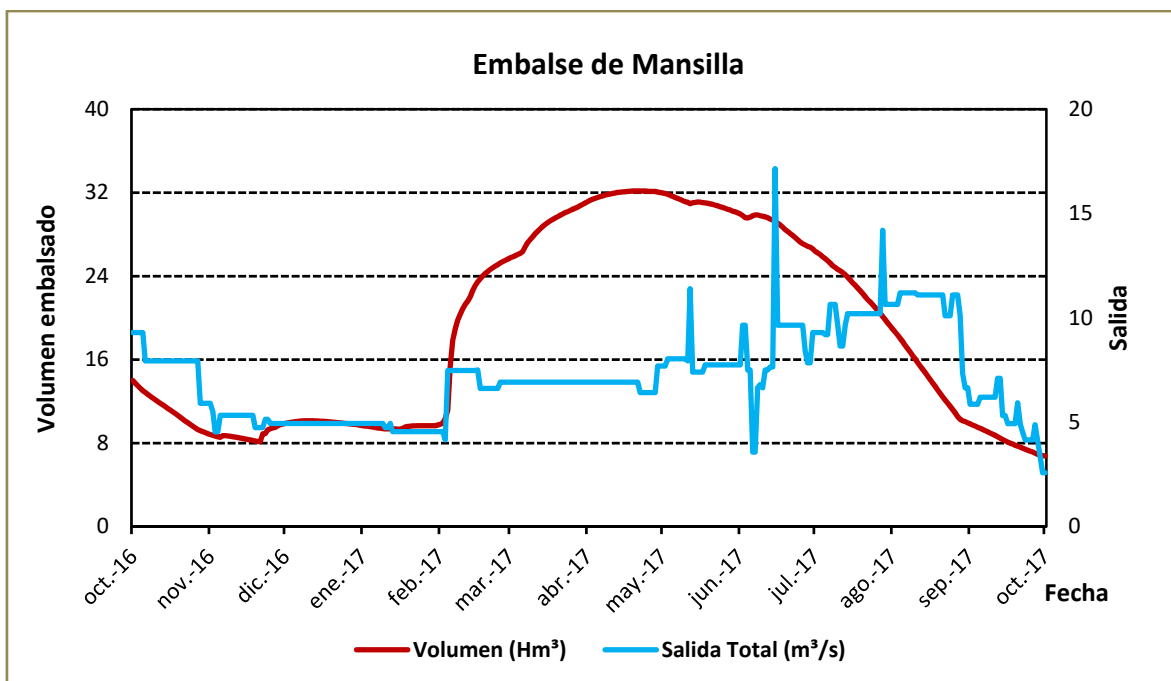


Figura 1. Volumen embalsado y salida durante el año hidrológico 2016-2017.

2.3. Usos del agua

Las aguas del embalse se destinan principalmente al aprovechamiento hidroeléctrico, al abastecimiento de la población y a los regadíos. También se les da un uso recreativo, teniendo habilitada una zona de baño con una piscina flotante en las inmediaciones del pueblo de Mansilla.

2.4. Registro de zonas protegidas

El embalse de Mansilla forma parte del Registro de Zonas Protegidas elaborado por la Confederación Hidrográfica del Ebro, en contestación al artículo 6 de la Directiva Marco del Agua, en la categoría de zonas de extracción de agua para consumo humano y zonas de protección de hábitats o especies (Punto Red Natura 2000: LIC y ZEPA ES0000067 "Sierras de La Demanda, Urbión, Cebollera y Cameros").

3. TRABAJOS REALIZADOS

Para acometer la caracterización del embalse se ha ubicado una estación de muestreo en las inmediaciones de la presa (ver figura 1). Se ha completado una campaña de muestreo el 17 de Junio de 2017, en la que se midieron *in situ* los parámetros fisicoquímicos y el Disco de Secchi en la columna de agua, se tomó una muestra de agua integrada para los análisis químicos y se realizaron muestreos de fitoplancton y zooplancton.

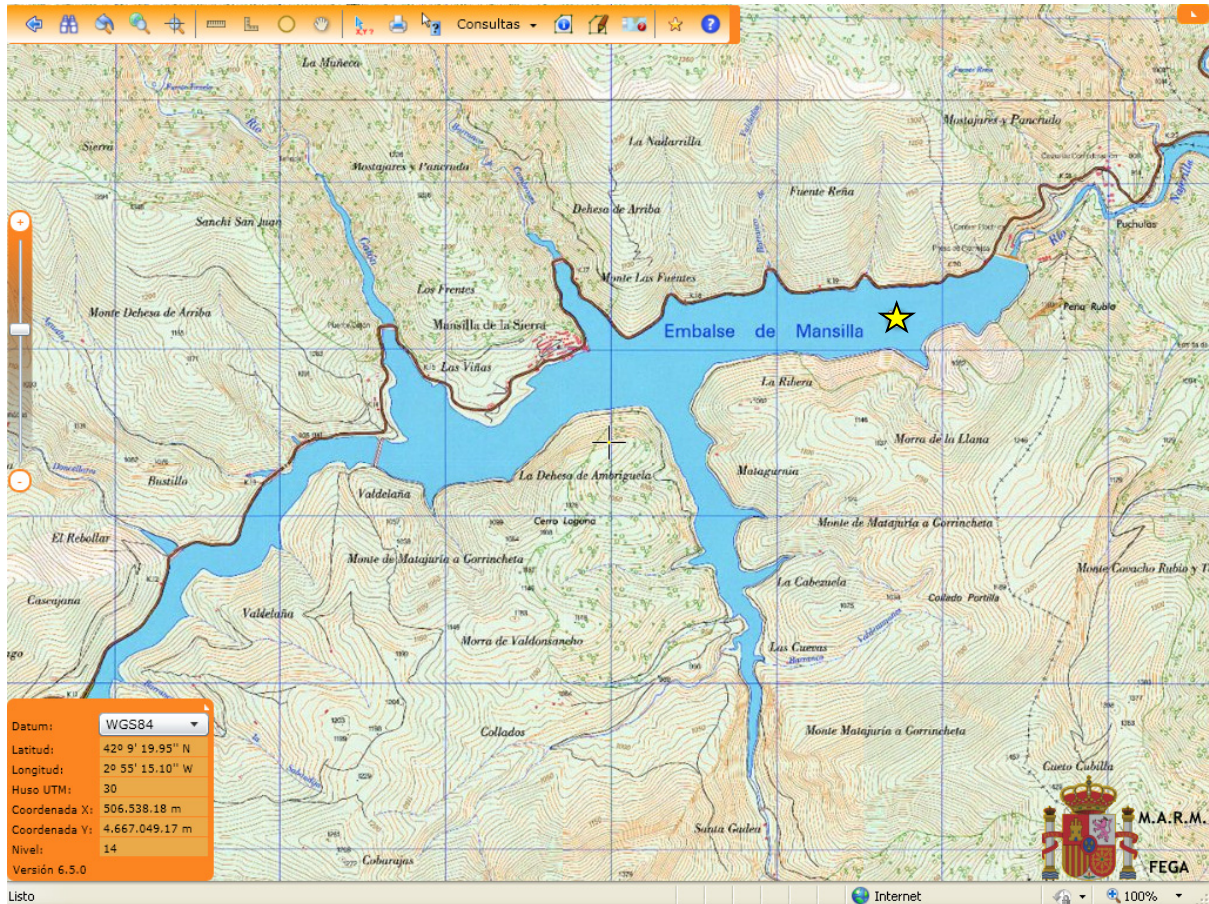
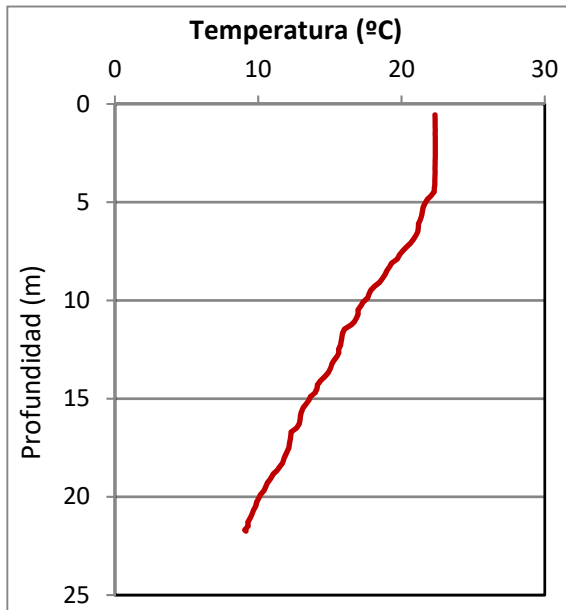


Figura 2. Localización de la estación de muestreo en el embalse.

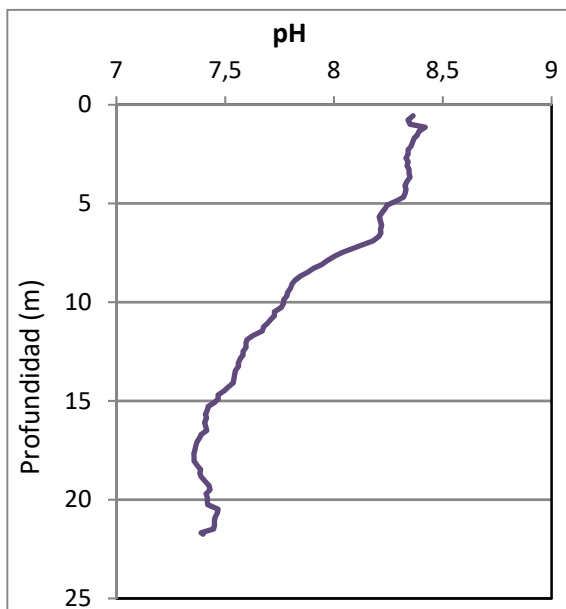
4. DIAGNÓSTICO DE LA SITUACIÓN ACTUAL

4.1. Características fisicoquímicas de las aguas

De los resultados obtenidos se desprenden las siguientes apreciaciones:

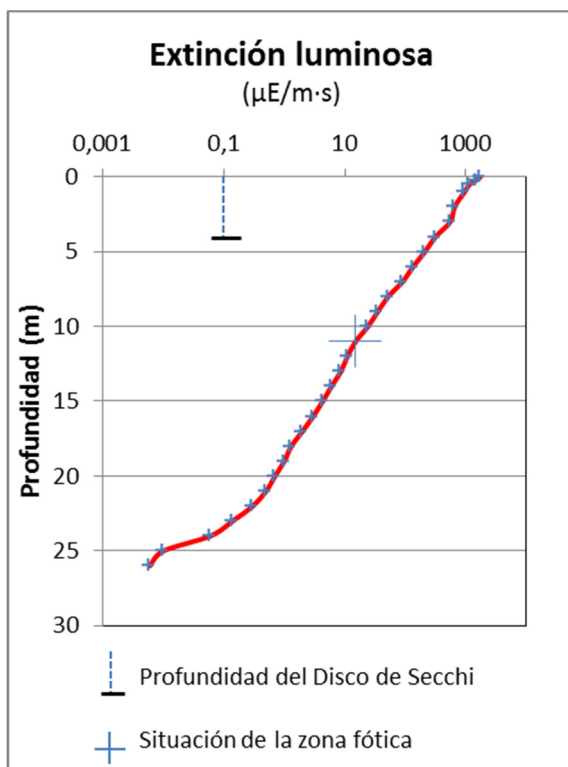


La temperatura del agua oscila entre los 9,45 °C – en el fondo- y los 22,34 °C - máximo registrado en superficie-. En el momento del muestreo (Junio 2017) no existe termoclina.



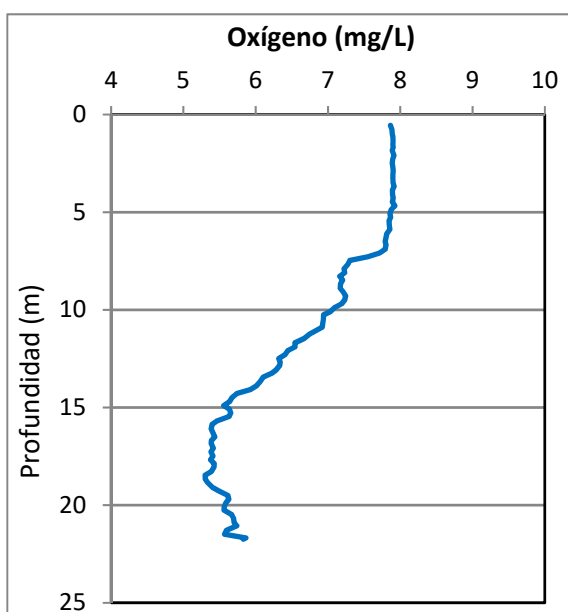
El pH del agua en superficie es 8,36, máximo epilimnético. En el fondo del embalse el valor del pH es de 7,40.

Figura 3. Perfiles verticales de la temperatura y el pH.



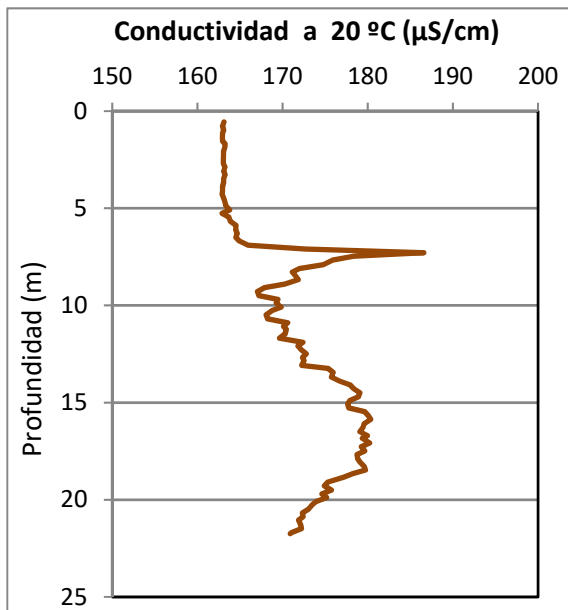
La transparencia del agua registrada en la lectura de disco de Secchi (DS) es de 3,9 m, lo que supone una profundidad de la capa fótica de 9,8 metros. Similar a la capa fótica determinada con medidor fotoeléctrico, 11 m de profundidad.

La turbidez media de la zona eufótica (muestra integrada de 11 m de profundidad) fue de 1,06 UAF.

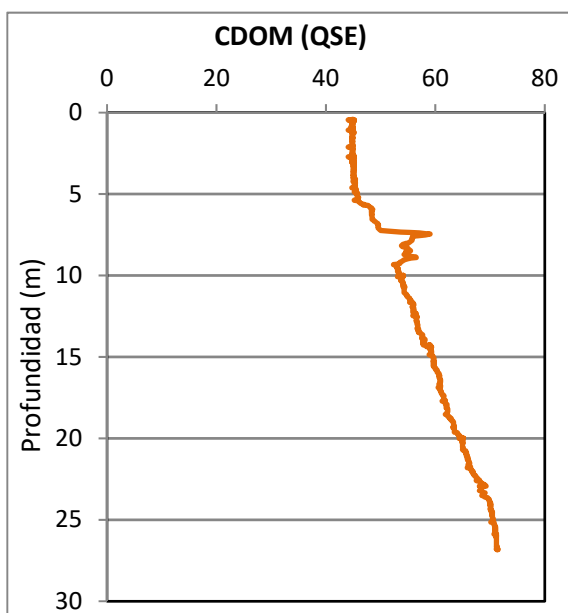


Las condiciones de oxigenación de la columna de agua alcanzan en el muestreo una concentración media de 6,68 mg/L. No se han detectado condiciones anóxicas (<2 mg O_2/L).

Figura 4. Perfiles verticales de la extinción luminosa y el oxígeno disuelto.



La conductividad del agua es de 163 $\mu\text{S}/\text{cm}$ en la superficie y de 170 $\mu\text{S}/\text{cm}$ en el fondo del embalse. Aunque el valor máximo se presentan a 7,3 m de profundidad con un valor de 186 $\mu\text{S}/\text{cm}$.



El CDOM del agua es de 45 QSE (equivalentes de sulfato de quinina) en la superficie y de 71 QSE en el fondo, valor máximo de CDOM registrado.

Figura 5. Perfil vertical de la conductividad.

4.2. Hidroquímica del embalse

De los resultados analíticos obtenidos en la campaña de 2017 en la muestra integrada, se desprenden los resultados de la tabla 2.

Tabla 2. Concentración de los diferentes nutrientes -analizados en las muestras integradas.

PARÁMETRO	UNIDAD	VALOR
PROFUNDIDAD CAPA FÓTICA	m	11,0
AMONIO	mg NH ₄ /L	0,062
FÓSFORO TOTAL	µg P/L	11,99
FÓSFORO SOLUBLE	µg P/L	2,59
NIO (NO ₃ + NO ₂)	mg N/L	0,22
NITRÓGENO TOTAL	mg N/L	0,39
SÍLICE	mg SiO ₂ /L	3,35
ALCALINIDAD	meq/L	1,21

Fitoplancton y concentración de clorofila

En el análisis de fitoplancton se han identificado un total de 25 especies, distribuidas en los siguientes grupos taxonómicos:

BACILLARIOPHYCEAE	7
CHRYSOPHYCEAE	1
SYNUROPHYCEAE	2
CHLOROPHYTA	7
ZYGNEMATOPHYCEAE	1
CYANOBACTERIA	1
CRYPTOPHYCEAE	5
DINOPHYCEAE	1

La estructura de la comunidad de fitoplancton se resume en la tabla 3 y la composición detallada en la tabla 4.

Tabla 3. Estructura y composición de la comunidad de fitoplancton.

PARÁMETRO	UNIDAD	VALOR
Nº CÉLULAS TOTALES	nº cel./ml	3307
BIOVOLUMEN TOTAL	µm ³ /ml	278828
Diversidad Shannon-Wiener		0,96
CLASE PREDOMINANTE (DENSIDAD)		Cyanobacteria
Nº células/ml		2906
ESPECIE PREDOMINANTE (DENSIDAD)		<i>Aphanocapsa</i> sp.
Nº células/ml		2906
CLASE PREDOMINANTE (BIOVOLUMEN)		Bacillariophyceae
Nº células/ml		153058
ESPECIE PREDOMINANTE (BIOVOLUMEN)		<i>Cyclotella radiosa</i>
Nº células/ml		136473

La concentración de clorofila fue de 1,65 µg/L en la muestra integrada, cuya profundidad se ha señalado con una línea roja en la figura 6.

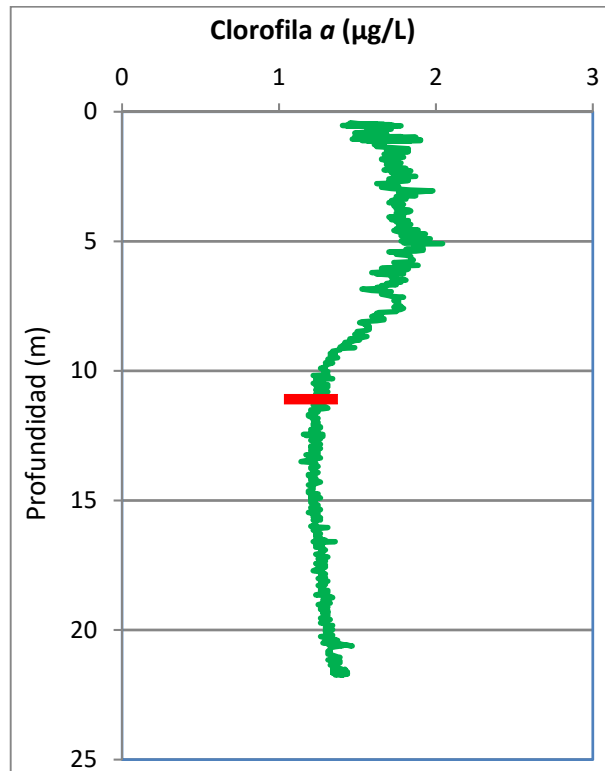


Figura 6. Perfil vertical de la clorofila a.

La composición de la población fitoplanctónica de la muestra integrada de la zona fótica indicando su abundancia y biovolumen, y la densidad cualitativa de la muestra integrada de fitoplancton del muestreo vertical con red de plancton, se muestran en la tabla 4:

Tabla 4. Composición detallada de la comunidad de fitoplancton.

COD_EMB_LW	COMPOSICIÓN	ABUNDANCIA	BIOVOLUMEN	CUALITATIVO
	FITOPLANCTON	cél./ml	µm ³ /ml	(1 al 5)
	BACILLARIOPHYCEAE/CENTRALES/			
AULAAMBIO	<i>Aulacoseira ambigua</i>	2,91	2.572,94	1
CYCLDELI0	<i>Cyclotella delicatula (=Lindavia delicatula)</i>	62,50	9.620,55	1
CYCLRADIO	<i>Cyclotella radiosa (=Lindavia radiosa)</i>	59,59	136.473,07	1
	BACILLARIOPHYCEAE /PENNALES/			
ASTEFORM0	<i>Asterionella formosa</i>	1,31	945,02	1
DIPLOVAL0	<i>Diploneis ovalis</i>			1
FRAGTENE0	<i>Fragilaria tenera</i>	2,91	1.573,16	
NITZACIC0	<i>Nitzschia acicularis</i>	7,27	1.744,08	
NITZPALE0	<i>Nitzschia palea</i>	0,33	129,57	
FRAGULNA0	<i>Ulnaria ulna (=Fragilaria ulna)</i>			1
	CHRYSTOPHYCEAE			
CHRYOGEN0	<i>Chrysochromulina sp.</i>	31,97	1.023,19	
	SYNUROPHYCEAE			
MALLAKRO0	<i>Mallomonas akrokomos</i>	1,45	535,74	
MALLMINU0	<i>Mallomonas minuta</i>	20,35	31.322,74	1



COD_EMB_LW	COMPOSICIÓN	ABUNDANCIA	BIOVOLUMEN	CUALITATIVO
	FITOPLANCTON	cél./ml	µm3/ml	(1 al 5)
	CHLOROPHYTA			
BOTRBRAU0	<i>Botryococcus braunii</i>			3
CARTEGEN0	<i>Carteria</i> sp.			1
CHLAMGEN0	<i>Chlamydomonas</i> sp.			1
SCENHYST0	<i>Desmodesmus hystrix</i> (=Scenedesmus hystrix)	5,81	219,17	
ELAKGELA0	<i>Elakatothrix gelatinosa</i>	4,36	184,92	
MONODYBO0	<i>Monoraphidium dybowskii</i>	13,08	339,03	
OOCYMARS0	<i>Oocystis marssonii</i>	1,31	296,89	1
OOCYSGEN0	<i>Oocystis</i> sp.			1
PANDMORU0	<i>Pandorina morum</i>			2
PHACLENT0	<i>Phacotus lenticularis</i>	0,33	82,47	
SCHRSETI0	<i>Schroederia setigera</i>	40,70	2.610,23	1
SPHAPLAN0	<i>Sphaerocystis planctonica</i>	4,36	783,07	2
	ZYGNEMATOPHYCEAE			
COSMDEPR0	<i>Cosmarium depressum</i>			1
STAULONG0	<i>Staurastrum longipes</i>	0,33	2.016,62	1
	CYANOBACTERIA			
APHASGEN0	<i>Aphanocapsa</i> sp.	2.906,80	1.522,00	4
WORONAEG0	<i>Woronichinia naegeliana</i>			2
	CRYPTOPHYCEAE			
CRYPERSO0	<i>Cryptomonas erosa</i>	18,89	45.162,38	
CRYPMARS0	<i>Cryptomonas marsonii</i>	10,17	5.795,77	
CRYPOVAT0	<i>Cryptomonas ovata</i>	18,89	26.335,15	
PLAGLACU0	<i>Plagioselmis</i> (=Rhodomonas) lacustris	78,48	6.521,96	
PLAGNANN0	<i>Plagioselmis nannoplanctica</i> (=Rhodomonas lacustris var. nannoplanctica)	13,08	474,86	
	DINOPHYCEAE			
CERAHIRU0	<i>Ceratium hirundinella</i>			1
GYMNUBER0	<i>Gymnodinium uberrimum</i>			1
GYMNWAWR0	<i>Gymnodinium wawrikan</i>	0,33	544,29	
	EUGLENOPHYCEAE			
EUGLEGEN0	<i>Euglena</i> sp.			1
EUGLVIRI0	<i>Euglena viridis</i>			1
LEPOTEXT0	<i>Lepocinclis texta</i>			1
	TOTALES BACILLARIOPHYCEAE	136,81	153.058,40	
	TOTALES CHRYSOPHYCEAE	31,97	1.023,19	
	TOTALES SYNUROPHYCEAE	21,80	31.858,48	
	TOTALES CHLOROPHYTA	69,95	4.515,77	
	TOTALES ZYGNEMATOPHYCEAE	0,33	2.016,62	
	TOTALES CYANOBACTERIA	2.906,80	1.522,00	
	TOTALES CRYPTOPHYCEAE	139,53	84.290,13	
	TOTALES DINOPHYCEAE	0,33	544,29	
	TOTALES ALGAS	3.307,52	278.828,88	

Nota: Entre paréntesis se cita el anterior nombre de la especie.

Clases de abundancia	% de presencia
1	<9
2	10-24
3	25-60
4	61-99
5	>99

4.3. Zooplancton

En el análisis de zooplancton de las muestras del embalse de Mansilla se han identificado un total de 14 especies, distribuidas en los siguientes grupos taxonómicos:

- 1 Cladocera
- 2 Copepoda
- 11 Rotifera

La estructura y composición de la comunidad de zooplancton se resume en la tabla 5:

Tabla 5. Estructura y composición de la comunidad de zooplancton.

PARÁMETRO	UNIDAD	VALOR
PROFUNDIDAD	m	5,0
DENSIDAD TOTAL	individuos/L	1120,00
BIOMASA TOTAL	µg/L	217,00
Diversidad Shannon-Wiener		1,79
CLASE PREDOMINANTE (DENSIDAD)		Rotíferos
individuos/L		1043,65
ESPECIE PREDOMINANTE (DENSIDAD)		<i>Polyarthra dolichoptera</i>
individuos/L		664,62
CLASE PREDOMINANTE (BIOMASA)		Cladóceros
µg/L		138,62
ESPECIE PREDOMINANTE (BIOMASA)		<i>Daphnia galeata</i>
µg/L		138,62
COLUMNA AGUA INTEGRADA (red vertical)		0 - 26 m
CLADÓCEROS: 7,07 %	COPÉPODOS: 16,48 %	ROTÍFEROS: 76,45 %

La composición detallada de la población zooplanctónica presente en la muestra cuantitativa de zooplancton indicando la densidad y biomasa, y el porcentaje de las especies presentes en la muestra integrada de la red vertical, se muestran en la tabla 6:

Tabla 6. Composición detallada de la comunidad de zooplancton.

CÓDIGO	COMPOSICIÓN	ABUNDANCIA	BIOMASA	PORCENTAJE
TAXÓN	ZOOPLANCTON	Ind./L	mg/L	(1 al 5)
	CLADÓCEROS			
DAPHGALE0	<i>Daphnia galeata</i>	40,77	138,62	1
DAPHLONG0	<i>Daphnia longispina</i>			1
	COPÉPODOS			
CYCLABYS0	<i>Cyclops abyssorum</i>	0,19	1,00	1
CYCLOPFAM	Fam. Cyclopidae	35,38	12,92	2
	ROTÍFEROS			
ASCOOVAL0	<i>Ascomorpha ovalis</i>	1,54	0,10	1
ASPLPRIO0	<i>Asplanchna priodonta</i>	12,31	9,23	1
CONONATA0	<i>Conochilus natans</i>			1
FILILONG0	<i>Filinia longiseta</i>			1
FILITERM0	<i>Filinia terminalis</i>			1
KERACOCO0	<i>Keratella cochlearis</i>	167,69	8,38	2
LECAACUL0	<i>Lecane aculeata</i>	0,19	0,01	
LECACLOS0	<i>Lecane closterocerca</i>	0,19	0,01	
PLOEHUDS0	<i>Ploesoma hudsoni</i>	0,19	0,17	1
POLYDOLI0	<i>Polyarthra dolichoptera</i>	664,62	33,90	3
POLYLUMI0	<i>Polyarthra luminosa</i>	186,15	9,49	2
SYNCGRAN0	<i>Synchaeta grandis</i>	1,54	0,54	
SYNCLONG0	<i>Synchaeta longipes</i>	7,69	2,56	
SYNCOBLO0	<i>Synchaeta oblonga</i>	1,54	0,08	1
	Total Cladóceros	40,77	138,62	7,07
	Total Copépodos	35,57	13,92	16,48
	Total Rotíferos	1043,65	64,47	76,45
	Total	1120,00	217,00	100

Nota: Entre paréntesis se cita el anterior nombre de la especie.

Clases de abundancia	% de presencia
1	<9
2	10-24
3	25-60
4	61-99
5	>99

5. DIAGNÓSTICO DEL GRADO TRÓFICO

Se han considerado los indicadores especificados en la tabla 7, estableciéndose el estado trófico global del embalse según la metodología descrita en la sección 5 de la MEMORIA DEL ESTUDIO.

Tabla 7. Parámetros indicadores y rangos de estado trófico.

Parámetros Estado Trófico	Ultraoligotrófico	Oligotrófico	Mesotrófico	Eutrófico	Hipereutrófico
Concentración P ($\mu\text{g P/L}$)	0-4	4-10	10-35	35-100	>100
Disco de Secchi (m)	>6	6-3	3-1,5	1,5-0,7	<0,7
Clorofila a ($\mu\text{g/L}$) epilimnion	0-1	1-2,5	2,5-8	8,0-25	>25
Densidad algal (cel./ml)	<100	100-1000	1000-10000	10000-100000	>100000
VALOR PROMEDIO FINAL	< 1,8	1,8 – 2,6	2,6 – 3,4	3,4 – 4,2	> 4,2

En la tabla 8 se incluye el estado trófico indicado por cada uno de los parámetros, así como la catalogación de la masa de agua según la valoración de este estado trófico final.

Tabla 8. Diagnóstico del estado trófico del embalse de Mansilla.

INDICADOR	VALOR	ESTADO TRÓFICO
P TOTAL	11,99	Mesotrófico
CLOROFILA a	1,65	Oligotrófico
DISCO SECCHI	3,90	Oligotrófico
DENSIDAD ALGAL	3308	Mesotrófico
ESTADO TRÓFICO FINAL	2,50	OLIGOTRÓFICO

Atendiendo a los criterios seleccionados, los resultados obtenidos según el fósforo total (PT) y la densidad algal el embalse se clasifica como mesotrófico. Mientras que los resultados obtenidos con la concentración de clorofila a y la transparencia (DS) sitúan el embalse en el rango de la oligotrofia. Combinando todos los indicadores el estado trófico final para el embalse de MANSILLA ha resultado ser **OLIGOTRÓFICO**.

6. DIAGNÓSTICO DEL POTENCIAL ECOLÓGICO

a) Aproximación experimental (*PEexp*)

Se han considerado los indicadores especificados en la tabla 9, estableciéndose el potencial ecológico del embalse según la metodología descrita en la sección 6.3, apartado a) de la MEMORIA DEL ESTUDIO.

Tabla 9. Parámetros y rangos para la determinación del potencial ecológico experimental.

Indicador	Elementos	Parámetros	Bueno o superior	Moderado	Deficiente	Malo	
Biológico	Fitoplancton	Densidad algal (cel/ml)	< 10 ³	10 ³ -10 ⁴	10 ⁴ -10 ⁵	>10 ⁵	
		Biomasa algal, Clorofila a (µg/L)	< 2,5	2,5-8	8,0-25	>25	
		Biovolumen algal (mm ³ /L)	< 0,5	0,5-2	2-8	>8	
		<i>Phytoplankton Assemblage Index (Q)</i>	> 3	2-3	1-2	<1	
		<i>Trophic Index (TI)</i>	< 2,79	2,79-3,52	3,52-4,25	>4,25	
		<i>Phytoplankton Trophic Index (PTI)</i>	> 3,4	2,6-3,4	1,8-2,6	<1,8	
	<i>Phytoplankton Reservoir Trophic Index (PRTI)</i>	< 6,6	6,6-9,4	9,4-12,2	>12,2		
Zooplancton	<i>Zooplankton Reservoir Trophic Index (ZRTI)</i>	< 6,6	6,6-9,4	9,4-12,2	>12,2		
INDICADOR BIOLÓGICO (1)			< 2,6	2,6 - 3,4	3,4 – 4,2	> 4,2	
Indicador	Elementos	Parámetros	Muy bueno	Bueno	Moderado	Deficiente	Malo
Fisicoquímico	Transparencia	Disco de Secchi (m)	>6	3-6	1, 5 -3	0, 7 -1,5	<0, 7
	Oxigenación	Concentración O ₂ (mg O ₂ /L)	>8	8-6	6-4	4-2	<2
	Nutrientes	Concentración de PT (µg P/L)	0-4	4-10	10-35	35-100	>100
INDICADOR FISICOQUÍMICO (2)			Muy bueno	Bueno	Moderado		
			< 1,6	1,6 – 2,4	> 2,4		

(1) La valoración del indicador biológico se obtiene asignando la calificación del elemento de menor puntuación (fitoplancton o zooplancton) o peor calidad, según la metodología *one out, all out*.

(2) La valoración del indicador fisicoquímico se obtiene asignando la calificación del elemento de menor puntuación o peor calidad, según la metodología *one out, all out*.

La combinación de los dos indicadores, fisicoquímico y biológico, para la obtención del potencial ecológico experimental final sigue el esquema de decisiones indicado en la tabla 10:

Tabla 10. Combinación de los indicadores.

Indicador Biológico	Indicador Fisicoquímico	Potencial Ecológico Experimental
Bueno o superior	Muy bueno	Bueno o superior
Bueno o superior	Bueno	Bueno o superior
Bueno o superior	Moderado	Moderado
Moderado	Indistinto	Moderado
Deficiente	Indistinto	Deficiente
Malo	Indistinto	Malo

En la tabla 11 se incluye el potencial indicado por cada uno de los parámetros e indicadores, así como la catalogación de la masa de agua según el potencial ecológico final.

Tabla 11. Diagnóstico del potencial ecológico del embalse de Mansilla.

Indicador	Elementos	Parámetros	Valor	Potencial
Biológico	Fitoplancton	Densidad algal (cel/ml)	3308	Moderado
		Clorofila a ($\mu\text{g/L}$)	1,65	Bueno o superior
		Biovolumen algal (mm^3/L)	0,28	Bueno o superior
		<i>Phytoplankton Assemblage Index (Q)</i>	2,18	Moderado
		<i>Phytoplankton Trophic Index (PTI)</i>	3,97	Bueno o superior
		<i>Trophic Index (TI)</i>	2,28	Bueno o superior
		<i>Phytoplankton Reservoir Trophic Index (PRTI)</i>	6,15	Bueno o superior
	Zooplancton	<i>Zooplankton Reservoir Trophic Index (ZRTI)</i>	5,97	Bueno o superior
INDICADOR BIOLÓGICO			2	BUENO O SUPERIOR
Fisicoquímico	Transparencia	Disco de Secchi (m)	3,90	Bueno
	Oxigenación	O_2 hipolimnética ($\text{mg O}_2/\text{L}$)	6,68	Bueno
	Nutrientes	Concentración de PT ($\mu\text{g P/L}$)	11,99	Moderado
INDICADOR FISICOQUÍMICO			3	MODERADO
POTENCIAL ECOLÓGICO P_{Exp}				MODERADO

b) Aproximación normativa (*PE_{norm}*)

Se han considerado los indicadores, los valores de referencia y los límites de clase B⁺/M (Bueno o superior/Moderado), M/D (Moderado/Deficiente) y D/M (Deficiente/Malo), así como sus ratios de calidad ecológica (RCE), especificados en las tablas 12 y 13, estableciéndose el potencial ecológico del embalse según la metodología descrita en la sección 6.3, apartado b) de la MEMORIA DEL ESTUDIO.

Tabla 12. Valores de referencia propios del tipo (VR_t) y límites de cambio de clase de potencial ecológico de los indicadores de los elementos de calidad de embalses (RD 817/2015).

Tipo	Elemento	Parámetro	Indicador	VR _t	B ⁺ /M (RCE)	M/D (RCE)	D/M (RCE)
Tipo 1	Fitoplancton	Biomasa	Clorofila <i>a</i> mg/m ³	2,00	0,211	0,14	0,07
			Biovolumen mm ³ /L	0,36	0,189	0,126	0,063
		Composición	Índice de Catalán (IGA)	0,10	0,974	0,649	0,325
			Porcentaje de cianobacterias	0,00	0,908	0,607	0,303
Tipo 7	Fitoplancton	Biomasa	Clorofila <i>a</i> mg/m ³	2,60	0,433	0,287	0,143
			Biovolumen mm ³ /L	0,76	0,362	0,24	0,12
		Composición	Índice de Catalán (IGA)	0,61	0,982	0,655	0,327
			Porcentaje de cianobacterias	0,00	0,715	0,48	0,24
Tipo 9	Fitoplancton	Biomasa	Clorofila <i>a</i> mg/m ³	2,60	0,433	0,287	0,143
			Biovolumen mm ³ /L	0,76	0,362	0,24	0,12
		Composición	Índice de Catalán (IGA)	0,61	0,982	0,655	0,327
			Porcentaje de cianobacterias	0,00	0,715	0,48	0,24
Tipo 10	Fitoplancton	Biomasa	Clorofila <i>a</i> mg/m ³	2,60	0,433	0,287	0,143
			Biovolumen mm ³ /L	0,76	0,362	0,24	0,12
		Composición	Índice de Catalán (IGA)	0,61	0,982	0,655	0,327
			Porcentaje de cianobacterias	0,00	0,715	0,48	0,24
Tipo 11	Fitoplancton	Biomasa	Clorofila <i>a</i> mg/m ³	2,60	0,433	0,287	0,143
			Biovolumen mm ³ /L	0,76	0,362	0,24	0,12
		Composición	Índice de Catalán (IGA)	0,61	0,982	0,655	0,327
			Porcentaje de cianobacterias	0,00	0,715	0,48	0,24
Tipo 12	Fitoplancton	Biomasa	Clorofila <i>a</i> mg/m ³	2,40	0,195	0,13	0,065
			Biovolumen mm ³ /L	0,63	0,175	0,117	0,058
		Composición	Índice de Catalán (IGA)	1,50	0,929	0,619	0,31
			Porcentaje de cianobacterias	0,10	0,686	0,457	0,229
Tipo 13	Fitoplancton	Biomasa	Clorofila <i>a</i> mg/m ³	2,10	0,304	0,203	0,101
			Biovolumen mm ³ /L	0,43	0,261	0,174	0,087
		Composición	Índice de Catalán (IGA)	1,10	0,979	0,653	0,326
			Porcentaje de cianobacterias	0,00	0,931	0,621	0,31

Tabla 13. Parámetros, rangos del RECT y valores para la determinación del potencial ecológico normativo.

			RANGOS DEL RCE				
Indicador	Elementos	Parámetros	Bueno o superior	Moderado	Deficiente	Malo	
Biológico	Fitoplancton	Clorofila <i>a</i> (µg/L)	≥ 0,433	0,432 – 0,287	0,286 – 0,143	< 0,143	
		Biovolumen algal (mm ³ /L)	≥ 0,362	0,361 – 0,24	0,23 – 0,12	< 0,12	
		Índice de Catalán (IGA)	≥ 0,982	0,981 – 0,655	0,654 – 0,327	< 0,327	
		Porcentaje de cianobacterias	≥ 0,715	0,714 – 0,48	0,47 – 0,24	< 0,24	
			Bueno o superior	Moderado	Deficiente	Malo	
INDICADOR BIOLÓGICO			> 0,6	0,4-0,6	0,2-0,4	< 0,2	
			RANGOS DE VALORES				
Indicador	Elementos	Parámetros	Muy bueno	Bueno	Moderado	Deficiente	Malo
Fisicoquímico	Transparencia	Disco de Secchi (m)	>6	3-6	1, 5 -3	0, 7 -1,5	<0, 7
	Oxigenación	O ₂ hipolimnética (mg O ₂ /L)	>8	8-6	6-4	4-2	<2
	Nutrientes	Concentración de PT (µg P/L)	0-4	4-10	10-35	35-100	>100
			Muy bueno	Bueno	Moderado		
INDICADOR FISICOQUÍMICO			< 1,6	1,6 – 2,4	> 2,4		

La combinación de los dos indicadores, fisicoquímico y biológico, para la obtención del potencial ecológico normativo final sigue el esquema de decisiones indicado en la tabla 14:

Tabla 14. Combinación de los indicadores.

Indicador Biológico	Indicador Fisicoquímico	Potencial Ecológico Experimental
Bueno o superior	Muy bueno	Bueno o superior
Bueno o superior	Bueno	Bueno o superior
Bueno o superior	Moderado	Moderado
Moderado	Indistinto	Moderado
Deficiente	Indistinto	Deficiente
Malo	Indistinto	Malo

En la tabla 15 se incluye el potencial indicado por cada uno de los parámetros, así como la catalogación de la masa de agua según el potencial ecológico final (*PE_{norm}*) tras pasar el filtro del indicador fisicoquímico.

Tabla 15. Diagnóstico del potencial ecológico (*PE_{norm}*) del embalse de Mansilla.

Indicador	Elementos	Parámetro	Indicador	Valor	RCE	RCET	<i>PE_{norm}</i>
Biológico	Fitoplancton	Biomasa	Clorofila a (µg/L)	1,65	1,58	1,41	Bueno o superior
			Biovolumen algal (mm ³ /L)	0,28	2,73	2,08	Bueno o superior
			Media				1,74
		Composición	<i>Índice de Catalán (IGA)</i>	0,15	1,001	1,03	Bueno o superior
			<i>Porcentaje de cianobacterias</i>	0,55	0,99	0,99	Bueno o superior
			Media				1,01
Media global						1,38	
INDICADOR BIOLÓGICO				2			BUENO O SUPERIOR
Indicador	Elementos	Indicador	Valor			<i>PE_{norm}</i>	
Fisicoquímico	Transparencia	Disco de Secchi (m)	3,90			Bueno	
	Oxigenación	O ₂ hipolimnética (mg O ₂ /L)	6,68			Bueno	
	Nutrientes	Concentración de PT (µg P/L)	11,99			Moderado	
INDICADOR FISICOQUÍMICO				3		MODERADO	
POTENCIAL ECOLÓGICO <i>PE_{norm}</i>				MODERADO			



ANEXO I. REPORTAJE FOTOGRÁFICO



Figura 7. Vista de la presa desde aguas abajo del embalse.



Figura 8. Vista del punto de acceso.